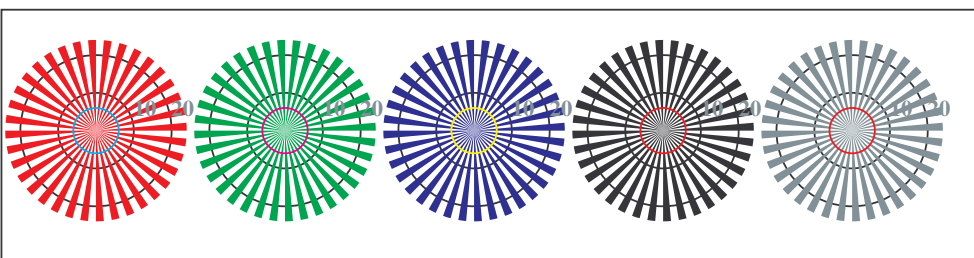
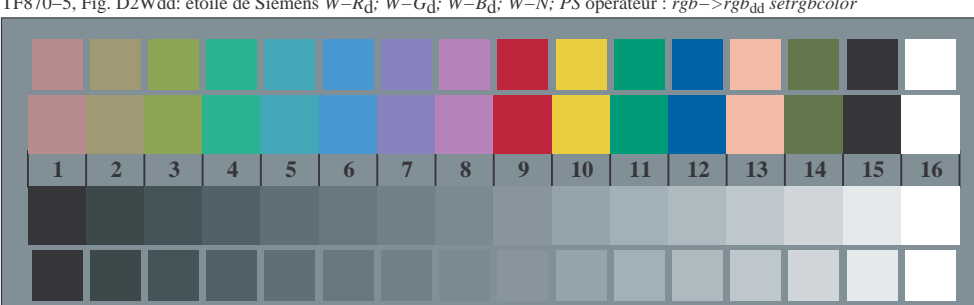


+-.:	Q O C Q C	lmno	C O C O C	pqrs	O O O O O	tuw
xyz;	O O C O C	hijk	O C O C O	lmno	O O O O O	pqr
tuvw	O O C O C	defg	O O C O C	hijk	O O O O O	lmno
pqrs	O O C O C	!abc	O O C O C	+-.:	O O O O O	hijk
lmno	O O C O C	+-.:	O O C O C	xyz;	O O O O O	+-.:
hijk	C O C O C	tuvw	O O C O C	tuvw	O O O O O	!abc
defg	O O C O C	pqrs	O O C O C	defg	O O O O O	xyz;
!abc	O O C O C	!abc	O O C O C	!abc	O O O O O	defg
10	N R_d G_d B_d Z	6	N R_d G_d B_d Z	6	N R_d G_d B_d Z	4
		8	N R_d G_d B_d Z			N R_d G_d B_d Z

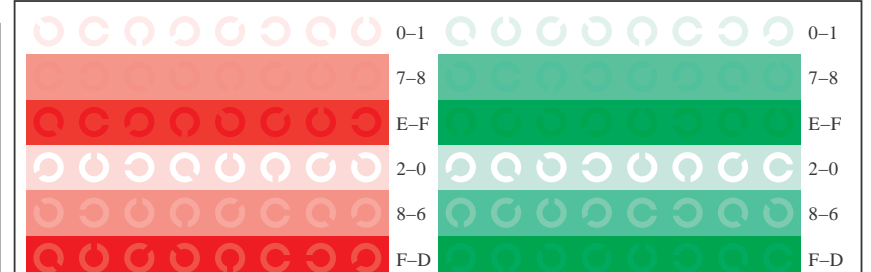
TF871-3, Fig. D5Wdd: code et anneau de Landolt N ; R_d ; G_d ; B_d ; Z ; PS opérateur: $rgb \rightarrow rgb_{dd}$ setrgbcolor



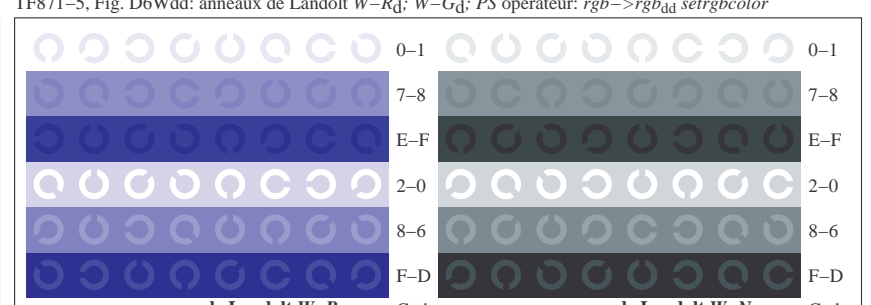
TF870-5, Fig. D2Wdd: étoile de Siemens $W-R_d$; $W-G_d$; $W-B_d$; $W-N$; PS opérateur: $rgb \rightarrow rgb_{dd}$ setrgbcolor



TF870-7, Fig. D3Wdd: 14 CIE test couleurs et 2 + 16 paliers de gris (sf); PS opérateur: $rgb/cmy0 \rightarrow rgb_{dd}$ setrgbcolor



TF871-5, Fig. D6Wdd: anneaux de Landolt $W-R_d$; $W-G_d$; PS opérateur: $rgb \rightarrow rgb_{dd}$ setrgbcolor



TF871-7, Fig. D7Wdd: anneaux de Landolt $W-B_d$; $W-N$; PS opérateur: $rgb \rightarrow rgb_{dd}$ setrgbcolor